

Д.С. Хоружий, С.К. Коновалов

## **Суточный ход и межсуточные изменения содержания углекислого газа и растворенного неорганического углерода в прибрежных водах Черного моря**

На основании натурных исследований, выполненных в мае и июле 2010 г., а также в мае 2011 г., анализируются закономерности суточного хода и межсуточных изменений равновесного парциального давления углекислого газа ( $p\text{CO}_2$ ) и концентрации суммарного растворенного неорганического углерода ( $\text{TCO}_2$ ) в поверхностном слое прибрежных вод Черного моря. Обсуждается влияние гидрологических характеристик вод (температуры) и биологических процессов, а также динамики вод на суточный ход и межсуточные изменения  $p\text{CO}_2$ ,  $\text{TCO}_2$ , а также разности  $p\text{CO}_2$  в поверхностном слое воды и приводном слое атмосферы. Показано, что температура воды является основным фактором, влияющим на величину  $p\text{CO}_2$ , в период апвеллинга и летнего прогрева вод, тогда как в период весеннего прогрева вод в отсутствие апвеллинга можно предполагать преобладающее влияние первично-продукционных процессов.

**Ключевые слова:** равновесное парциальное давление углекислого газа ( $p\text{CO}_2$ ), суммарный растворенный неорганический углерод ( $\text{TCO}_2$ ), суточный ход, межсуточные изменения, поверхностный слой, прибрежные воды Черного моря, апвеллинг.

### **Введение**

Интерес к исследованиям переноса углекислого газа ( $\text{CO}_2$ ) между атмосферой и океаном обусловлен в первую очередь той ролью, которую играет  $\text{CO}_2$  в глобальных процессах, влияющих на формирование климата и изменение фундаментальных характеристик морской среды. Океан является важным звеном в процессах поглощения из атмосферы углекислого газа антропогенного происхождения, а депонирование и трансформация дополнительного углекислого газа приводит к существенным изменениям характеристик морской среды. Изучение характеристик неорганической составляющей цикла углерода в Черном море выполнялось до недавнего времени [1 – 5] лишь по косвенным данным (величина щелочности и рН, а также кажущиеся константы диссоциации угольной кислоты), которые в свою очередь зависят от способа измерения характеристик морской воды и оценки необходимых констант. Это является причиной существенной противоречивости таких результатов и обуславливает необходимость прямого определения равновесного парциального давления углекислого газа и концентрации растворенного неорганического углерода, что соответствует общемировой тенденции и основным требованиям при выполнении океанографических программ в области мониторинга и изучения цикла углерода в водах Мирового океана.

В прибрежных водах Черного моря регулярные прямые измерения  $p\text{CO}_2$  и  $\text{TCO}_2$  были начаты сравнительно недавно – с 2009 г. сотрудниками отдела биогеохимии моря Морского гидрофизического института НАН Украины [6, 7]. В частности, на основании результатов измерений  $\text{TCO}_2$  и рН выполнялся

расчет карбонатной системы [6] с использованием уравнений и кажущихся констант, рекомендованных F.J. Millero [8]. Вопросы динамики карбонатной системы на различных масштабах времени и влияния различных факторов на эту динамику не рассматривались.

В изучении динамики обмена углекислого газа между морской водой и атмосферой большой интерес представляет установление ее временных масштабов, что позволяет оценить и сопоставить вклад различных факторов, влияющих на карбонатную систему, а также направление и величину потока  $\text{CO}_2$ .

В настоящей работе анализируются суточный ход и межсуточные изменения равновесного парциального давления углекислого газа в поверхностном слое морской воды в сравнении с динамикой парциального давления углекислого газа в приводном слое атмосферы на основании экспедиционных данных, полученных в ходе трех экспедиций в весенне-летний период 2010 и 2011 гг. в прибрежных водах Черного моря.

### Метод исследования

Прямые измерения  $p\text{CO}_2$  в морской воде и приводном слое атмосферы выполнялись методом инфракрасной спектроскопии с помощью газоанализатора *LI-7000*, входящего в состав приборного комплекса *AS-C3*. Детальное описание метода дано в работе [9].

В основе метода измерения концентрации  $\text{CO}_2$  в газовой фазе лежит способность молекул углекислого газа поглощать излучение с длиной волны 4,255 мкм. Содержание  $\text{CO}_2$  в анализируемой газовой смеси пропорционально степени ослабления излучения с соответствующей длиной волны при прохождении через измерительную кювету газоанализатора. Получаемый сигнал сравнивается с сигналом детектора кюветы сравнения, через которую пропускается чистый газ-носитель (аргон). Для компенсации влияния паров воды на результаты измерений обе кюветы снабжены детекторами, измеряющими интенсивность излучения с длиной волны 2,595 мкм, что соответствует максимуму в спектре поглощения воды. Результаты этих измерений учитываются программой расчета в качестве поправки при определении концентрации  $\text{CO}_2$ . Перед каждым измерением выполнялась калибровка газоанализатора по чистому газу-носителю в соответствии с инструкцией фирмы-производителя [10].

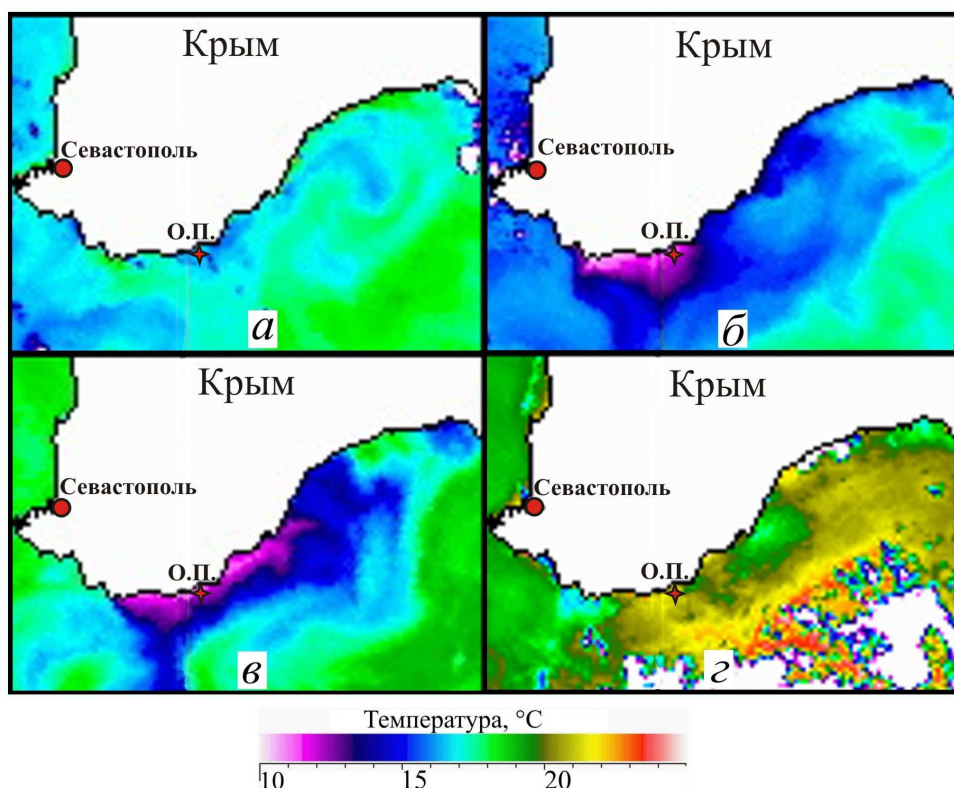
Для измерения концентрации растворенного неорганического углерода в аликовете пробы морской воды добавлялся избыток 10%-ного раствора ортофосфорной кислоты и хлорида натрия. В результате протекающей реакции все неорганические формы углерода, присутствующие в морской воде, переводили в форму углекислого газа, который с током газа-носителя попадал в измерительную ячейку газоанализатора. Для градуировки приборного комплекса перед началом каждой экспедиции использовался раствор карбоната натрия с концентрацией 4000 мкмоль/дм<sup>3</sup>.

Согласно технической документации, относительная погрешность измерения  $p\text{CO}_2$  не превышает 1% от измеряемого значения [10]. Воспроизводимость при измерениях  $\text{TCO}_2$  достигает 0,1% [11].

Отбор воды производился с трех горизонтов – 0; 0,5 и 5 м. Одновременно с отбором проводилось гидрологическое зондирование, результаты которого (температура и соленость воды) использовались в ходе последующих расчетов.

### Результаты и их обсуждение

В течение 2009 – 2011 гг. было проведено 6 экспедиций в район океанографической платформы (рис. 1). В ходе каждой выполнялись прямые измерения парциального давления углекислого газа в атмосфере и равновесного парциального давления CO<sub>2</sub> в воде, а также регистрировались гидрологические характеристики. В настоящей работе использовались данные трех экспедиций. Две из них проводились во время весеннего прогрева вод, 27 мая – 3 июня 2010 г. и 25 мая – 1 июня 2011 г. Кроме того, первая экспедиция проходила в период ослабления апвеллинга. Еще одна экспедиция была выполнена в летний период, 22 – 29 июля 2010 г. Продолжительность каждой из экспедиций позволяет рассматривать динамику pCO<sub>2</sub> и TCO<sub>2</sub> на межсугодном масштабе, а регулярное выполнение нескольких измерений в течение суток дает возможность оценить суточный ход pCO<sub>2</sub> и TCO<sub>2</sub>.



**Рис. 1.** Изменение температуры поверхностных вод в районе океанографической платформы ЭО МГИ НАН Украины (пос. Кацивели) у берегов Крыма в мае 2010 г.: *а* – 17 мая; *б* – 19 мая; *в* – 26 мая; *г* – 28 мая

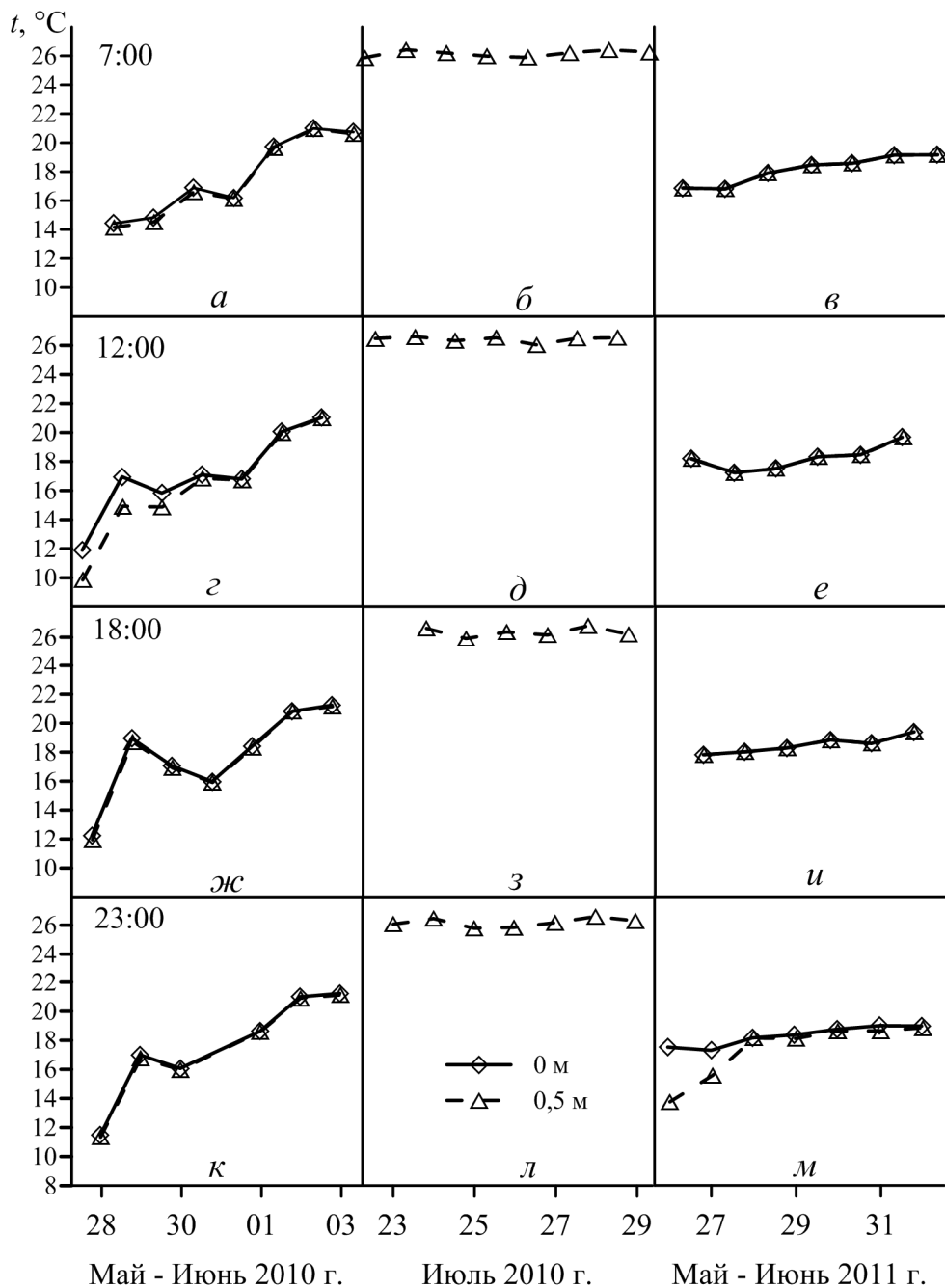
Исследованию специфических особенностей прибрежных вод и их роли в процессах переноса неорганического углерода между атмосферой, сушей и океаном посвящен ряд работ [12 – 14]. Вследствие взаимодействия между морской водой, донными отложениями, атмосферой и берегом интенсивность и соотношение биогеохимических процессов в этих регионах существенно отличаются от типичных характеристик для открытых акваторий.

Площадь прибрежных районов незначительно превышает 7% от общей площади поверхности океана [12]. Однако вследствие более интенсивного протекания биогеохимических процессов в этих областях их вклад в глобальный цикл углерода оказывается значительным. По существующим оценкам, сток атмосферного CO<sub>2</sub>, приходящийся на эти области, достигает 21% от суммарной величины для океана в целом [13, 14]. С другой стороны, прибрежные районы, подверженные значительному береговому стоку, являются источником углекислого газа для атмосферы в результате трансформации карбонатной системы вод суши [15]. Вследствие этого при выполнении количественных оценок потоков углерода необходимо учитывать особый характер процессов с участием неорганического углерода в прибрежных водах. Кроме того, прибрежные районы подвергаются наиболее интенсивной антропогенной нагрузке (поступление хозяйствственно-бытовых и промышленных стоков и т. д.), влияющей на процессы транспорта биогенных элементов, прежде всего углерода. Именно по этим причинам важным аспектом исследований цикла углерода в прибрежной морской среде является выяснение характера изменений на масштабах времени от внутрисуточного до синоптического [16], что связано со значительной пространственно-временной изменчивостью биологических и физических процессов, влияющих на состояние карбонатной системы морской прибрежной среды.

Равновесное парциальное давление CO<sub>2</sub> зависит, в первую очередь, от его концентрации, определяемой общим содержанием в воде неорганического углерода и состоянием карбонатной системы, которое, в свою очередь, в значительной степени зависит от гидрологических характеристик воды, прежде всего от температуры, которая при прочих равных условиях влияет на равновесное состояние карбонатной системы, а также определяет растворимость CO<sub>2</sub> в морской воде. В связи с этим на рис. 2 в хронологическом порядке показан ход температуры во время разных съемок. На графиках видно, что для майской экспедиции 2010 г. были характерны значительные перепады температуры воды. Причиной этой особенности стал апвеллинг – подъем к поверхности холодных вод с глубины, развитие которого наблюдалось в районе исследований непосредственно перед измерениями, а ослабление – в их период.

Эволюция апвеллинга в районе исследований в момент съемки в мае 2010 г. представлена изменением поля поверхностной температуры (рис. 1). Соответствующие карты, полученные на основании спутниковых данных, приведены на сайте отдела дистанционных методов исследований МГИ НАН Украины [17].

Перед началом апвеллинга (рис. 1, *а*) температура поверхностных вод достигала 17 – 18°C, затем произошло ее понижение до 11 – 12°C (рис. 1, *б*). Подобные значения температуры фиксировались и в первые дни съемки (рис. 1, *в*), а затем наблюдалось ее повышение (рис. 1, *г*).



**Р и с. 2.** Ход температуры воды в различное время суток в районе океанографической платформы у берегов Крыма: а, г, ж, к – май 2010 г.; б, д, з, и – июль 2010 г.; в, е, и, м – май 2011 г.

Повышение температуры за период съемки для поверхностного слоя (горизонт 0 м) составило 9,3°C, для горизонта 0,5 м – 11,3°C. Разность температур между горизонтами 0 и 0,5 м в некоторых случаях достигала 2°C, но

обычно была существенно ниже и в среднем составляла 0,3°C. В условиях ослабления апвеллинга в течение съемки наблюдалось повышение температуры, ход которого характеризовался неравномерностью (рис. 2, а, г, ж, к). В течение первых суток температура колебалась в пределах 2°C, а за вторые сутки произошло ее быстрое повышение более чем на 7°C. Следующие двое суток температура снова колебалась в относительно узком диапазоне, не превышавшем 2°C, после чего начался ее устойчивый рост. За последующие двое суток температура воды повысилась на 5°C. Затем в приповерхностном слое наступила стабилизация, и в течение следующих суток диапазон изменения температуры был менее 0,3°C. Учитывая тот факт, что измерения проводились в одной точке, такие особенности хода температуры объясняются не столько неравномерностью прогрева вод, сколько наложением эффекта прогрева и динамики вод в условиях ослабления апвеллинга. В связи с этим суточный ход температуры также характеризовался значительной вариабельностью. В течение первых четырех суток температура воды достигала максимума в вечернее время, а в ночное время отмечалось ее снижение. В течение следующих двух суток температура воды повышалась постоянно, ее понижений зафиксировано не было. В ходе последних, седьмых суток съемки колебания температуры были незначительны и не превышали 0,3°C.

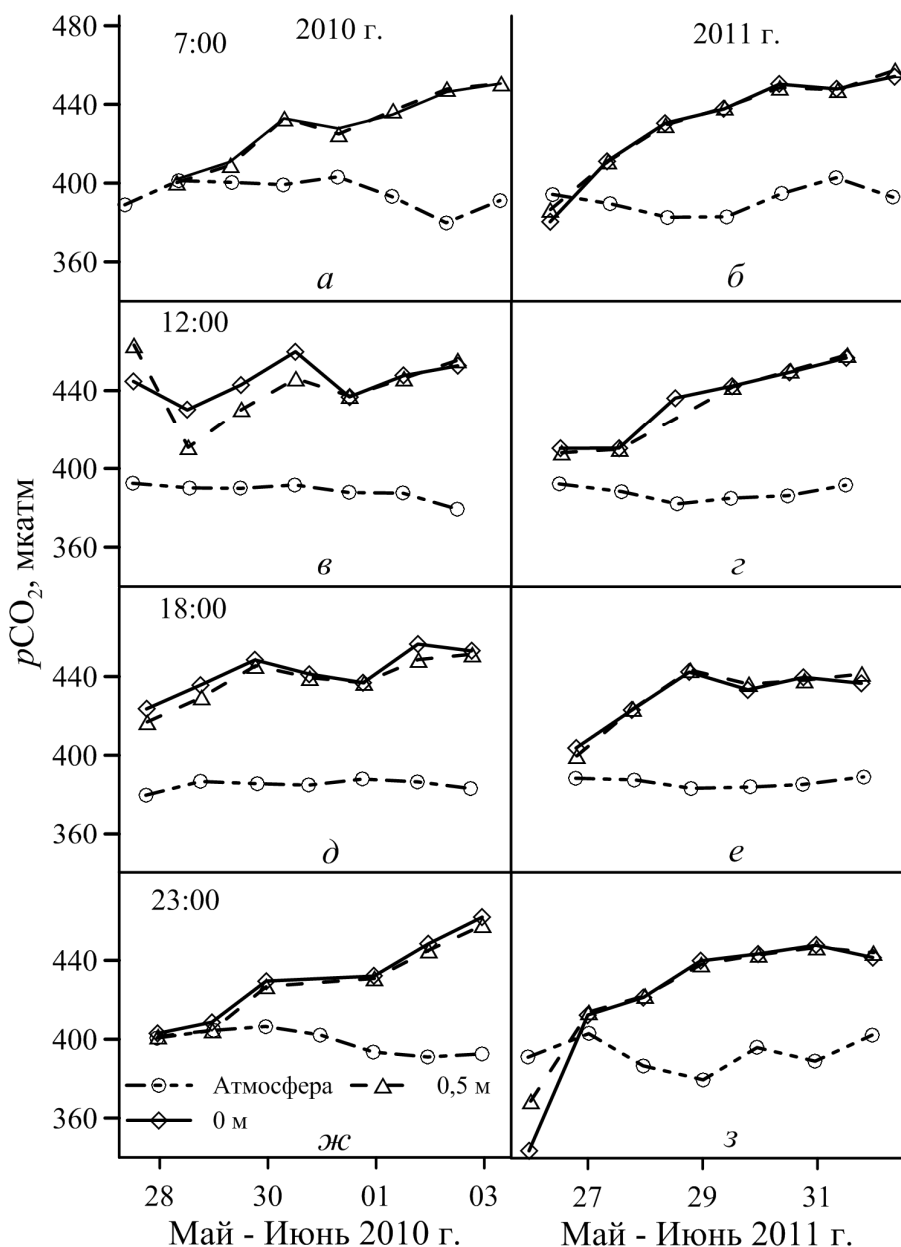
В июле 2010 г. (рис. 2, б, д, з, л) наблюдались незначительные колебания температуры на межсуточном масштабе при отсутствии выраженных тенденций в ее суточном ходе. Диапазон изменений температуры для поверхностных горизонтов составлял 1°C – от 25,8°C до 26,8°C при среднем значении 26,3°C.

Во время майской съемки 2011 г. (рис. 2, в, е, и, м) температура постепенно повышалась, что соответствует общим представлениям о прогреве вод в весенний период. Это повышение прослеживается только на межсуточном масштабе, тогда как значимых отличий между результатами измерений, выполненных в разное время суток, отмечено не было. Скорость повышения температуры воды была значительно ниже, чем в аналогичный период предыдущего года – в поверхностном слое (горизонты 0 и 0,5 м) за время съемки она увеличилась на 2,6°C.

Для анализа суточного хода и межсуточных изменений  $p\text{CO}_2$  в морской воде и атмосфере были сделаны соответствующие выборки данных, полученных в ходе весенних съемок на разных горизонтах (рис. 3). Сравнение суточного хода  $p\text{CO}_2$  по данным этих съемок позволяет выделить общие черты, характерные для периода весеннего прогрева вод.

Наблюдаемые в это время изменения затрагивают различные характеристики прибрежных вод, которые влияют на содержание неорганического углерода в морской воде и соотношение между его различными формами. Основными факторами являются изменение  $\text{TCO}_2$ , протекание интенсивных биологических и биогеохимических процессов, изменение температуры воды, обмен  $\text{CO}_2$  между водой и атмосферой. В отсутствие существенных изменений в  $\text{TCO}_2$  и при относительном постоянстве интенсивности биологических и биогеохимических процессов температура является основным фактором, определяющим изменения карбонатной системы [8]. По этой причине

важен анализ степени влияния различных факторов на наблюдаемые изменения неорганической составляющей цикла углерода.



**Р и с. 3.** Изменение  $p\text{CO}_2$  в районе океанографической платформы во время весенних экспедиций 2010 и 2011 гг.

Наряду с повышением температуры воды для весеннего периода характерна интенсификация процесса фотосинтеза вследствие увеличения продолжительности светового дня. В период развития апвеллинга обеспечивается

перенос неорганического углерода из глубинных вод в поверхностный слой, где происходит его ассимиляция, особенно на этапе ослабления апвеллинга, когда уменьшается вертикальный перенос вод и увеличивается температура поверхностного слоя. Однако увеличение температуры приводит к обратному результату – увеличению  $p\text{CO}_2$  в связи с изменением констант диссоциации угольной кислоты. Одним из следствий такого перераспределения является неоднозначность изменений значений  $p\text{CO}_2$ .

Данные, представленные на рис. 3, свидетельствуют, что в мае 2010 и 2011 гг. на горизонтах 0 и 0,5 м на межсуточном масштабе прослеживалась тенденция к повышению  $p\text{CO}_2$ . Однако характер этого повышения был различным. В мае 2010 г., в период ослабления апвеллинга, наблюдались значительные колебания межсуточных значений  $p\text{CO}_2$ , более выраженные в ночное и утреннее время. Амплитуды внутрисуточных изменений  $p\text{CO}_2$  за время наблюдений, определяемые по разности между максимальным и минимальным значениями  $p\text{CO}_2$ , составляли 59 и 49 мкатм соответственно. Для данных, полученных в дневное и вечернее время, эти величины были ниже и составляли 30 и 33 мкатм соответственно. Наиболее устойчивое повышение  $p\text{CO}_2$  в воде наблюдалось на межсуточном масштабе в ночное время. Другой особенностью данных, полученных в ночное время, являлась наименьшая разность  $p\text{CO}_2$  между горизонтами 0 и 0,5 м, которая не превышала погрешности метода измерений. В мае 2011 г. характер изменения  $p\text{CO}_2$  в разное время суток и на межсуточном масштабе был сходен. Вместе с тем можно отметить более быстрый рост  $p\text{CO}_2$  в ночное и утреннее время по сравнению с результатами, полученными в дневное и вечернее время. В начале съемки значения равновесного парциального давления  $\text{CO}_2$  в морской воде в это время суток были ниже, а в конце съемки выше, чем  $p\text{CO}_2$  в атмосфере (рис. 3).

Повышение равновесного парциального давления  $\text{CO}_2$  в морской воде на межсуточном масштабе не было равномерным и изменялось как в течение суток, так и по глубине. Наибольшим за время наблюдений оказалось повышение  $p\text{CO}_2$  на горизонте 0 м в ночное время, оно составило 104,3 мкатм. В поверхностном слое (0 м) равновесное парциальное давление изменялось в пределах 343,8 – 456,8 мкатм при среднем значении 438,8 мкатм. Тенденция к росту  $p\text{CO}_2$  отмечалась во всех случаях, но была более выражена в ночное время. На горизонте 0,5 м повышение в ночное время было ниже и составляло 74,2 мкатм. Во время утренних съемок разность между величинами приращения была меньше, 70,9 – 80,4 мкатм, в дневное время она составляла 46,8 мкатм для 0 м и 24,6 мкатм для 0,5 м. Таким образом, наибольшие колебания были характерны для поверхностного горизонта 0 м.

Общий характер изменений равновесного парциального давления  $\text{CO}_2$  в морской воде на межсуточном масштабе был сходен для разных горизонтов: во всех случаях в начальный период наблюдений  $p\text{CO}_2$  возрастало быстрее, чем на заключительном этапе съемки. Согласно данным, полученным в вечернее и ночное время, после интенсивного повышения в течение первых трех суток наблюдений наступала стабилизация  $p\text{CO}_2$  и его дальнейшие изменения становились незначительными – в пределах 1%, что не превышает погрешности метода измерения. Согласно данным, полученным в утреннее и

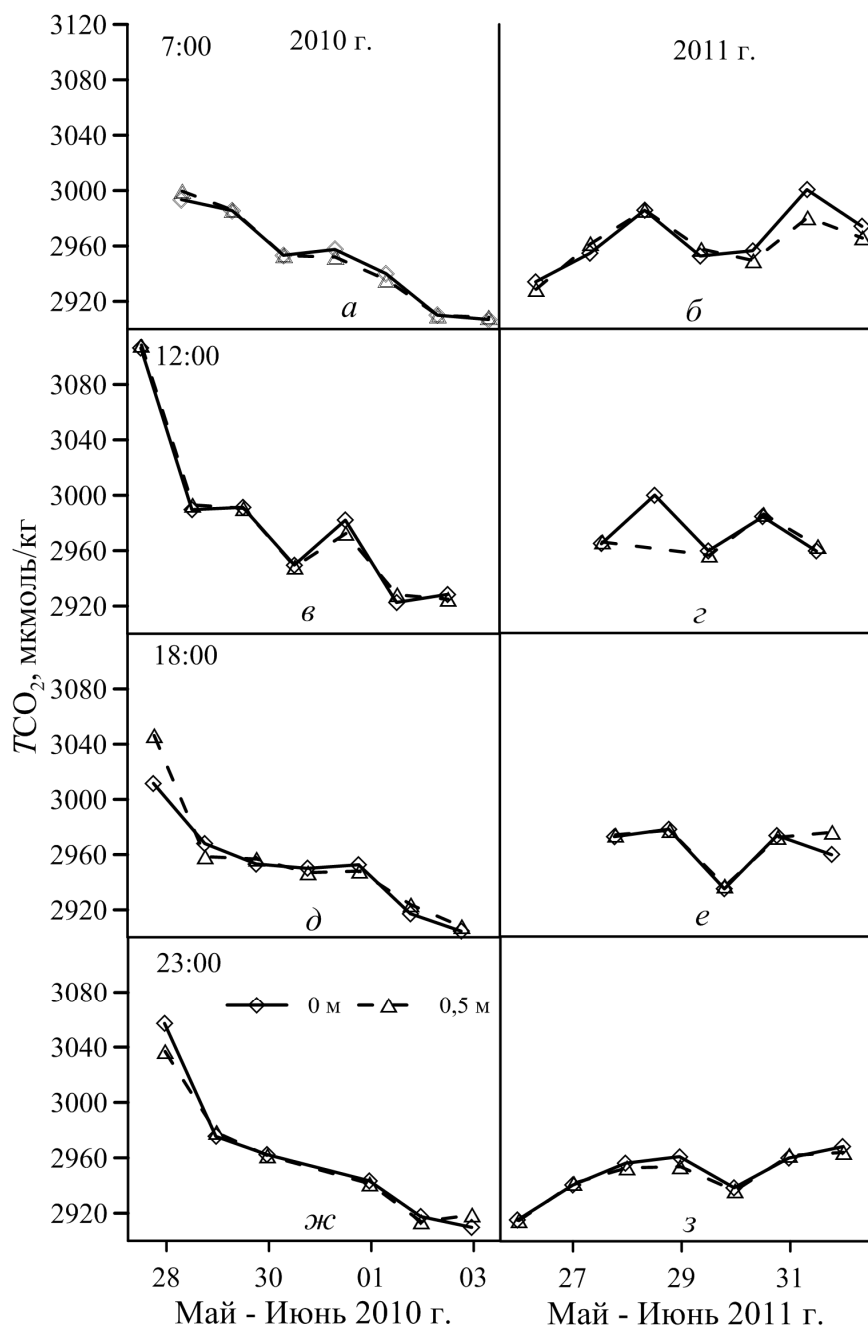
дневное время, происходил медленный рост  $p\text{CO}_2$ , который продолжался и в последующие дни.

Суточный ход характеризовался уменьшением разности между дневными и ночных значениями  $p\text{CO}_2$  от ~ 60 мкатм в начале экспедиции в мае 2010 г. до ~ 10 мкатм в конце экспедиции. В мае 2011 г. характер изменений был обратным: разность между дневными и ночных значениями  $p\text{CO}_2$  увеличивалась от ~ 10 мкатм в начале до 10 мкатм в конце экспедиции. Сопоставление этих данных с ходом температуры (рис. 2) показывает, что в мае 2011 г. наблюдалось постепенное уменьшение роли первично-продукционных и увеличение роли физических (температура) факторов. Положительные значения разности между дневными и ночных измерениями  $p\text{CO}_2$  свидетельствуют, что дневной прогрев вод приводит к увеличению  $p\text{CO}_2$ , тогда как отрицательные значения указывают на преимущественное изъятие  $\text{CO}_2$  в первично-продукционных процессах в дневное время, которое не может быть скомпенсировано увеличением  $p\text{CO}_2$  в результате диссоциации производных угольной кислоты под влиянием дневного прогрева вод. В мае 2010 г. такая картина осложнялась влиянием апвеллинга на стадии его ослабления. Резкое падение температуры воды в период, предшествующий экспедиционным исследованиям, и ее существенный рост в период исследований определили преимущественное, но ослабевающее влияние физических факторов на  $p\text{CO}_2$  в поверхностном слое. При этом разность между дневными и ночных значениями  $p\text{CO}_2$  была закономерно максимальной в начале экспедиционных исследований и снижалась по мере ослабления апвеллинга и прогрева вод. На этом фоне увеличивалась роль первично-продукционных процессов, интенсивность которых возросла в результате поступления биогенных элементов в период апвеллинга. Как результат, влияние биологических факторов к концу экспедиционных исследований стало преобладающим. Можно предполагать, что дальнейшая эволюция карбонатной системы в отсутствие апвеллинга протекала по сценарию 2011 г. Это объясняет совпадение характеристик карбонатной системы в конце экспедиции в мае 2010 г. и в начале исследований в мае 2011 г.

Изменение концентрации  $\text{TCO}_2$  на межсуточном масштабе в различное время суток в мае 2010 и 2011 гг. представлено на рис. 4. Характер изменения концентрации  $\text{TCO}_2$  в ходе этих съемок был различен. В мае 2010 г. наблюдалась устойчивая тенденция к снижению концентрации  $\text{TCO}_2$  на разных горизонтах. За время наблюдений на горизонтах 0 и 0,5 м она уменьшилась на 6,4% от начальной величины. В мае 2011 г. происходили несущественные колебания концентрации  $\text{TCO}_2$  на разных горизонтах, а диапазон ее изменений был значительно уже. Максимальная разность между концентрациями на горизонте 0 м составляла 2,8%, на горизонте 0,5 м – 2,4% от соответствующих максимальных значений.

Для оценки диапазонов изменения измеряемых показателей во время различных съемок были рассчитаны относительные разности между максимальными и минимальными значениями  $p\text{CO}_2$  и  $\text{TCO}_2$ , выраженные в процентах по отношению к их средним значениям для соответствующих горизонтов. В табл. 1 приведены значения для  $p\text{CO}_2$ , в табл. 2 – для  $\text{TCO}_2$  по результатам майских съемок 2010 и 2011 гг. Приведенные значения показывают, что в це-

лом для  $p\text{CO}_2$  характерна большая вариабельность, чем для  $\text{TCO}_2$ . Интересным представляется факт, что диапазон изменения значений  $p\text{CO}_2$  в период ослабления апвеллинга был несколько меньше, чем при его отсутствии. Наибольшая амплитуда изменений  $p\text{CO}_2$  была отмечена во время ночных и утренних съемок.



**Р и с. 4.** Изменение  $\text{TCO}_2$  в районе океанографической платформы во время весенних экспедиций 2010 и 2011 гг.

Таблица 1

**Диапазоны относительных изменений  $p\text{CO}_2$  ( $\Delta'p\text{CO}_2$ , %),  
амплитуда изменений ( $\Delta t$ , °C) и средние значения температуры ( $t_{cp}$ , °C)  
в разное время суток в мае 2010 и 2011 гг.**

Глубина, м	Характеристики	Май 2010 г.				Май 2011 г.			
		7:00	12:00	18:00	23:00	7:00	12:00	18:00	23:00
0	$\Delta'p\text{CO}_2$	11,3	6,7	7,4	13,7	17,2	10,7	9,0	24,7
	$\Delta t$	6,6	9,1	9,0	9,8	2,1	2,2	1,4	1,5
	$t_{cp}$	17,7	17,1	17,8	17,6	17,1	17,2	17,5	17,3
0,5	$\Delta'p\text{CO}_2$	11,7	11,9	7,8	13,2	16,4	11,6	10,1	18,3
	$\Delta t$	6,8	11,2	9,2	9,8	2,1	2,2	1,4	1,5
	$t_{cp}$	17,5	16,3	17,7	17,4	17,1	17,2	17,5	17,3

Таблица 2

**Диапазоны относительных изменений  $\text{TCO}_2$  ( $\Delta'\text{TCO}_2$ , %)  
и температурные характеристики (°C) в разное время суток  
в мае 2010 и 2011 гг.**

Глубина, м	Характеристики	Май 2010 г.				Май 2011 г.			
		7:00	12:00	18:00	23:00	7:00	12:00	18:00	23:00
0	$\Delta'\text{TCO}_2$	2,9	6,2	3,6	5,0	2,2	1,4	1,5	1,8
	$\Delta t$	6,6	9,1	9,0	9,8	2,1	2,2	1,4	1,5
	$t_{cp}$	17,7	17,1	17,8	17,6	17,1	17,2	17,5	17,3
0,5	$\Delta'\text{TCO}_2$	3,2	6,2	4,7	4,2	1,9	1,0	1,4	1,7
	$\Delta t$	6,8	11,2	9,2	9,8	2,1	2,2	1,4	1,5
	$t_{cp}$	17,5	16,3	17,7	17,4	17,1	17,2	17,5	17,3

В характере изменений  $\text{TCO}_2$  прослеживается другая закономерность: в период ослабления апвеллинга диапазон изменений этой величины был шире, чем в мае 2011 г., когда полученные результаты были более однородными.

Иная ситуация наблюдалась в июле 2010 г. (рис. 5). Съемка проводилась во время даунвеллинга, поэтому температура воды колебалась в очень узких пределах. Равновесное парциальное давление углекислого газа в морской воде в течение всей съемки было значительно выше, чем в атмосфере (рис. 5, *a*, *в*, *д*, *ж*). Суточный ход  $p\text{CO}_2$  в дневное время характеризовался повышенными значениями. Максимальное значение  $p\text{CO}_2$  (480 мкатм) также зафиксировано в дневное время, минимальные – в ночное. Разность между значениями  $p\text{CO}_2$  в дневное и ночное время была всегда положительной и колебалась в период экспедиции в диапазоне 5 – 40 мкатм. Какого-либо статистически значимого тренда не наблюдалось. Такой характер изменений  $p\text{CO}_2$  указывает на то, что температура являлась основным фактором, определяющим суточный ход этого параметра. В условиях относительно низкой интенсивности первично-продукционных процессов, которые поддерживаются в летнее время в значительной степени процессами регенерации и рециркуляции биоген-

ных элементов и углерода в фотическом слое вод, суточный ход температуры становится основным фактором, определяющим увеличение  $p\text{CO}_2$  при дневном прогреве вод и уменьшение этой величины в ночное время.

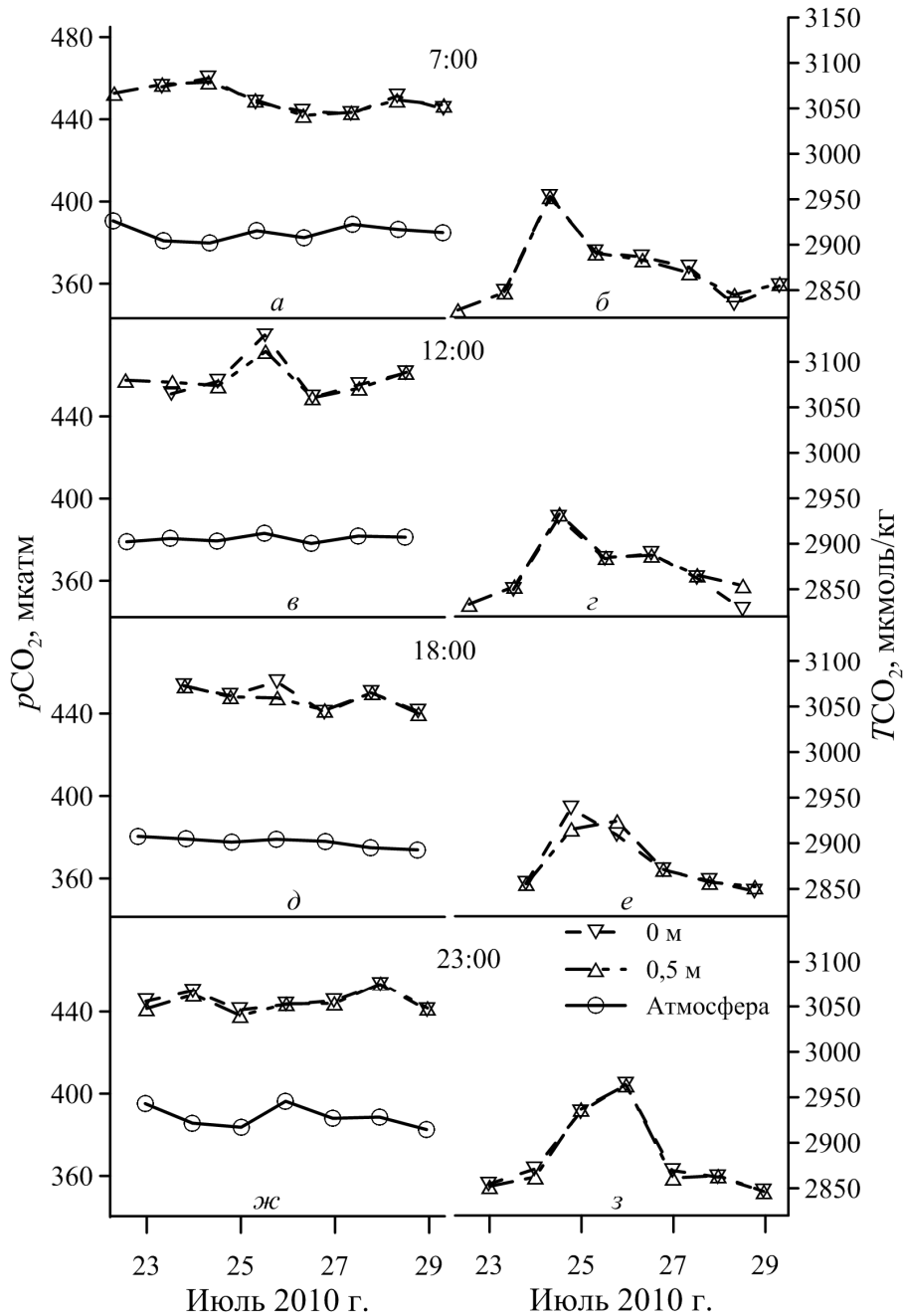


Рис. 5. Изменение  $p\text{CO}_2$  в морской воде и в атмосфере и  $\text{TCO}_2$  в морской воде в районе океанографической платформы в июле 2010 г.

Динамика изменений концентрации  $T\text{CO}_2$  (рис. 5, б, г, е, з) является более инертной характеристикой карбонатной системы. В течение съемки отмечались отдельные повышения концентрации  $T\text{CO}_2$ , которые скорее характеризуют межсуточные изменения в результате динамики вод, а не суточный ход под влиянием изменений температуры и интенсивности биологических процессов. Так, повышение концентрации  $T\text{CO}_2$  было отмечено утром 24 июля. Повышенные концентрации отмечались в дальнейшем в течение полутора суток, до ночной съемки 25 июля, после чего произошло их быстрое снижение. Такой характер изменения концентрации  $T\text{CO}_2$  может быть связан с изменением химического состава вод на межсуточном масштабе, а не с локальными процессами внутрисуточных изменений.

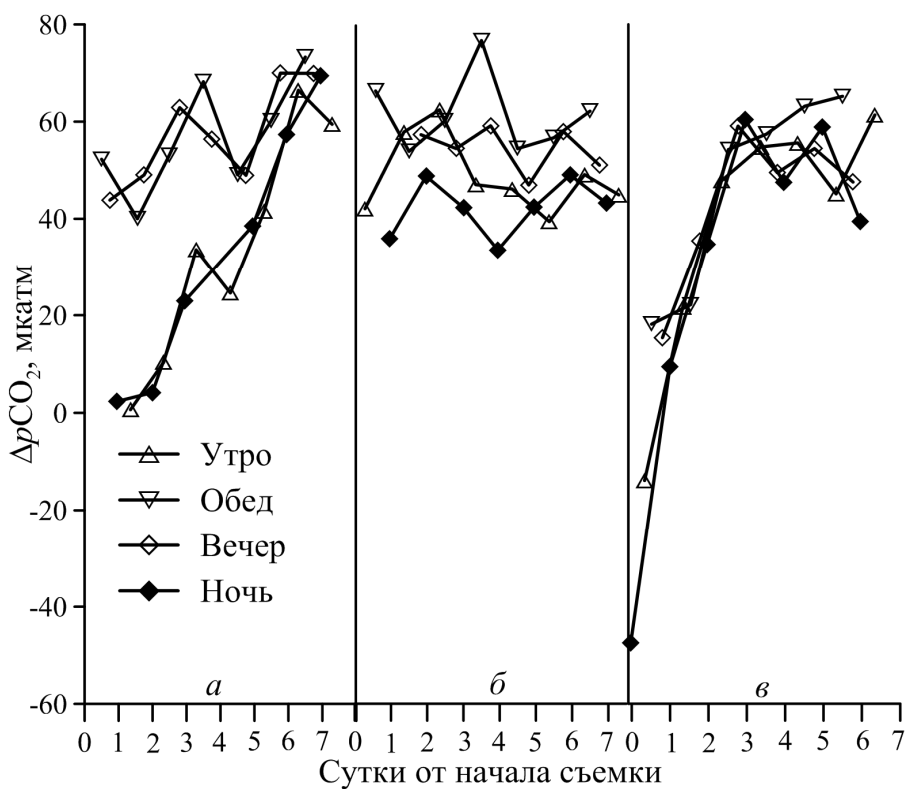
Представленные в табл. 3 характеристики диапазонов изменений  $p\text{CO}_2$  и  $T\text{CO}_2$  во время июльской съемки 2010 г. показывают, что интервал этих изменений для парциального давления был меньше, чем во время обеих майских съемок. Диапазон относительных изменений концентрации  $T\text{CO}_2$  был больше, чем в мае 2011 г., но меньше, чем в мае 2010 г. Абсолютные значения концентраций были ниже, чем во время майских съемок. Возможной причиной этого является интенсивная ассимиляция, вследствие которой происходит понижение концентрации растворенного неорганического углерода в поверхностных водах.

Таблица 3

**Диапазоны  $\Delta'p\text{CO}_2$  и  $\Delta'T\text{CO}_2$  (%) и температурные характеристики ( $^{\circ}\text{C}$ )  
в разное время суток в июле 2010 г.**

Глубина, м	Характеристики	$p\text{CO}_2$				$T\text{CO}_2$			
		7:00	12:00	18:00	23:00	7:00	12:00	18:00	23:00
0	$\Delta'$	3,7	3,5	3,3	6,3	4,0	4,2	4,1	3,5
	$\Delta t$	0,5	0,6	0,9	0,8	0,5	0,6	0,9	0,8
	$t_{\text{cp}}$	26,2	26,4	26,4	26,2	26,2	26,4	26,4	26,2
0,5	$\Delta'$	4,8	2,5	3,3	3,0	3,4	2,7	3,1	2,5
	$\Delta t$	0,5	0,6	0,9	0,8	0,5	0,6	0,9	0,8
	$t_{\text{cp}}$	26,2	26,4	26,4	26,2	26,2	26,4	26,4	26,2

Для оценки скорости изменения равновесного  $p\text{CO}_2$  в поверхностном слое и направления потока  $\text{CO}_2$  на рис. 6 представлены графики разности между  $p\text{CO}_2$  в воде и атмосфере. Ход этих графиков показывает, что как во время ослабления апвеллинга, так и в его отсутствие для периода весеннего прогрева вод характерна тенденция к увеличению градиента  $p\text{CO}_2$  ( $\Delta p\text{CO}_2$ ) между водой и атмосферой. Если первоначальные значения в ходе обеих майских съемок были близки к равновесным, а в мае 2011 г. наблюдалась инвазия  $\text{CO}_2$  из атмосферы, подтверждающая ведущую роль первично-продукционных процессов в ассимилировании  $\text{CO}_2$ , то в дальнейшем вследствие повышения  $\Delta p\text{CO}_2$  устанавливалось сравнительно стабильное состояние эвазии, при котором углекислый газ выделяется в атмосферу. Такое же состояние было характерно и для летней съемки 2010 г.



**Р и с. 6.** Графики изменения разности  $p\text{CO}_2$  в поверхностном слое (0 м) и в атмосфере в районе океанографической платформы в мае 2010 г. (а), июле 2010 г. (б) и в мае 2011 г. (в)

В мае 2011 г. (рис. 6, в)  $\Delta p\text{CO}_2$  в течение первых трех суток наблюдений увеличивался сравнительно равномерно. В дальнейшем в дневное время его рост продолжился, но скорость значительно уменьшилась. Для данных, полученных в другое время суток, были характерны флуктуации, в ходе которых периоды роста сменялись периодами понижения.

В июле 2010 г. устойчивых изменений на межсуточном масштабе не прослеживалось – для всех временных выборок отмечались разнонаправленные колебания. Значения, полученные в дневное время, во всех случаях были выше, чем в ночное. Результаты утренних и вечерних съемок, как правило, занимали промежуточное положение между этими граничными значениями.

### Выводы

Полученные экспериментальные данные позволили проследить суточный ход и межсуточные изменения содержания углекислого газа и растворенного неорганического углерода в прибрежных водах Южного берега Крыма в условиях повышения температуры поверхностного слоя вод в весенний период, а также стабильно высоких температур в летний период. В один из экспедиционных периодов весенний прогрев вод характеризовался существенным повышением температур при ослаблении апвеллинга. Было показано, что характеристики суточного хода и межсуточных изменений компонентов карбо-

натной системы, в первую очередь равновесного парциального давления углекислого газа в поверхностном слое, в значительной степени определяются гидрологическими характеристиками (температурой) и интенсивностью первично-продукционных процессов. Значительное снижение температуры воды, характерное в период развития апвеллинга, приводит к уменьшению абсолютных значений  $p\text{CO}_2$ , а интенсивный прогрев вод в период ослабления апвеллинга – к их увеличению вследствие преобладающего влияния температуры. Суточный ход  $p\text{CO}_2$  в период ослабления апвеллинга характеризуется максимальными величинами в дневное время. Аналогичный суточный ход  $p\text{CO}_2$  характерен и для летнего периода, когда первично-продукционные процессы поддерживаются в значительной степени за счет процессов регенерации биогенных элементов и суточный ход температур поверхностного слоя с дневным максимумом определяет максимальные величины  $p\text{CO}_2$  в дневное время. Для летнего периода характерны высокие значения  $p\text{CO}_2$  в поверхностном слое морской воды, превышающие соответствующие значения в атмосфере, т. е. наблюдается эвазия углекислого газа из морской среды в атмосферу. Весной, в период интенсивных первично-продукционных процессов и на заключительном этапе ослабления апвеллинга биологические процессы превалируют над физическими, что приводит к инвазии углекислого газа из атмосферы в морскую воду.

## СПИСОК ЛИТЕРАТУРЫ

1. Жоров В.А., Абакумова Т.Н., Согва Е.Е. и др. Об обмене  $\text{CO}_2$  между морем и атмосферой в некоторых районах Черного моря // Океанология. – 1981. – XXI, вып. 1. – С. 55 – 62.
2. Жоров В.А., Согва Е.Е., Абакумова Т.Н. Геохимические особенности распределения  $\text{CO}_2$  в некоторых районах Черного моря // Геохимия. – 1979. – № 9. – С. 1392 – 1403.
3. Земляной А.Д., Батраков Г.Ф., Еремеев В.Н. Оценка скорости обмена  $\text{CO}_2$  между атмосферой и черноморскими водами по радиоуглеродным данным // Комплексные океанографические исследования Черного моря. – Севастополь: МГИ АН Украины, 1984. – С. 120 – 125.
4. Игнатьева О.Г., Романов А.С., Овсянкий Е.И., Коновалов С.К. Сезонная динамика компонентов карбонатной системы в Севастопольской бухте (1998 – 2001 гг.) // Экологическая безопасность прибрежной и шельфовой зон и комплексное использование ресурсов шельфа. – Севастополь: МГИ НАН Украины, 2004. – Вып. 10. – С. 130 – 140.
5. Игнатьева О.Г. Состояние компонентов карбонатной системы вод Севастопольской бухты по данным экспедиционных исследований 2006 – 2007 гг. // Морской экологический журнал. – 2009. – VIII, № 2. – С. 37 – 48.
6. Хоружий Д.С. Опыт прямого определения парциального давления углекислого газа ( $p\text{CO}_2$ ) и концентрации растворенного неорганического углерода ( $\text{TCO}_2$ ) в прибрежных водах Черного моря летом 2009 г. // Экологическая безопасность прибрежной и шельфовой зон и комплексное использование ресурсов шельфа. – Севастополь: МГИ НАН Украины, 2009. – Вып. 20. – С. 195 – 203.
7. Хоружий Д.С., Кондратьев С.И., Медведев Е.В., Шутов С.А. Динамика парциального давления углекислого газа и концентрации растворенного кислорода в шельфовых водах Южного берега Крыма в 2009 – 2010 гг. // Там же. – Севастополь: МГИ НАН Украины, 2010. – Вып. 21. – С. 136 – 145.
8. Millero F.J. The Marine Inorganic Carbon Cycle // Chem. Rev. – 2007. – 107, № 2. – P. 308 – 341.

9. Хоружий Д.С. Использование приборного комплекса AS-C3 для определения парциального давления углекислого газа и концентрации неорганического углерода в морской воде // Экологическая безопасность прибрежной и шельфовой зон и комплексное использование ресурсов шельфа. – Севастополь: МГИ НАН Украины, 2010. – Вып. 23. – С. 260 – 272.
10. LI-7000 CO<sub>2</sub>/H<sub>2</sub>O Analyzer Instruction Manual. – LI-COR, Inc., 2004. – 222 p.
11. AS-C3 DIC Analyzer Instruction Manual. – Apollo SciTech, Inc., 2004. – 20 p.
12. Biogeochemical processes at the land-sea boundary / Eds. P. Lasserre, J.-M. Martin. – Elsevier, 1986. – 214 p.
13. Borges A.V. Present Day Carbon Dioxide Fluxes in the Coastal Ocean and Possible Feedbacks Under Global Change // Oceans and the Atmospheric Carbon Content. – Springer Science+Business Media B.V., 2011. – P. 47 – 79.
14. Chen C.T.A., Borges A.V. Reconciling opposing views on carbon cycling in the coastal ocean: Continental shelves as sinks and near-shore ecosystems as sources of atmospheric CO<sub>2</sub> // Deep-Sea Res. Part II. – Apr. 2009. – 56 (8). – P. 578 – 590.
15. Kempe S. Coastal Seas: A Net Source or Sink of Atmospheric Carbon Dioxide? – Texel, the Nederland: LOICZ, 1995. – 27 p.
16. Edson J.B., DeGrandpre M.D., Frew N. et al. Investigations of air-sea gas exchange in the CoOP Coastal Air-Sea Chemical Exchange Project // Oceanogr. – 2008. – 21, № 4. – P. 34 – 45.
17. <http://dvs.net.ua>.

Морський гідрофізичний інститут НАН України,  
Севастополь  
E-mail: khoruzhiy@mail.ru,  
sergey\_konovalov@yahoo.com

Матеріал поступив  
в редакцію 10.04.12  
После дороботки 27.06.12

**АНОТАЦІЯ** На підставі натурних досліджень, виконаних в травні та липні 2010 р., а також в травні 2011 р., аналізуються закономірності добового ходу та міждобових змін рівноважного парціального тиску вуглекислого газу ( $p\text{CO}_2$ ) та концентрації сумарного розчиненого неорганічного вуглецю ( $\text{TCO}_2$ ) в поверхневому шарі прибережних вод Чорного моря. Обговорюється вплив гідрологічних характеристик вод (температури) та біологічних процесів, а також динаміки вод на добовий хід і міждобові зміни  $p\text{CO}_2$ ,  $\text{TCO}_2$ , а також різниці  $p\text{CO}_2$  в поверхневому шарі води та приводному шарі атмосфери. Показано, що температура води є основним чинником, що впливає на величину  $p\text{CO}_2$ , в період апвелінгу та літнього прогрівання вод, тоді як в період весняного прогрівання вод у відсутності апвелінгу можна припускати переважаючий вплив первинно-продукційних процесів.

**Ключові слова:** рівноважний парціальний тиск вуглекислого газу ( $p\text{CO}_2$ ), сумарний розчинений неорганічний вуглець ( $\text{TCO}_2$ ), добовий хід, міждобові зміни, поверхневий шар, прибережні води Чорного моря, апвелінг.

**ABSTRACT** Regularities of diurnal and inter-diurnal variations of carbonic acid ( $p\text{CO}_2$ ) equilibrium partial pressure and concentration of total dissolved inorganic carbon ( $\text{TCO}_2$ ) in the surface layer of the Black Sea coastal waters are analyzed based on *in situ* research in May and July, 2010, and in May, 2011. Influence of water hydrological characteristics (temperature), biological processes and water dynamics upon the diurnal and inter-diurnal variations of  $p\text{CO}_2$ ,  $\text{TCO}_2$  and differences of  $p\text{CO}_2$  in the water surface layer and the atmospheric near-surface layer is discussed. It is shown that the water temperature is a basic factor influencing the value of  $p\text{CO}_2$  during the periods of upwelling and water heating in summer, whereas during water heating in spring when upwelling is absent, influence of primary-production processes can be assumed to be dominating.

**Keywords:** equilibrium partial pressure of carbonic acid ( $p\text{CO}_2$ ), total dissolved inorganic carbon ( $\text{TCO}_2$ ), diurnal variation, inter-diurnal changes, surface layer, Black Sea coastal waters, upwelling.